

九州産業大学工学部

正員 吉村 健

九州大学応用力学研究所

正員 中村泰治

1. まえがき 閉塞された中央分離帯（以下にフェンスと称する）の設置は、比較的縦横比の小さい橋桁のねじりフラッタの防振に有効である。本報告では、インディシャルモーメント応答を用い、フェンスによるねじりフラッタの防振の機構を実験的に明らかにした結果を記述される。ねじりフラッタの発生原因は姿勢変化に基づく剥離バブルの発生と成長におけることは前報<sup>(1)</sup>で述べたとおりであるが、フェンスがこの剥離バブルの発生と成長をいかにして抑制し、ねじりフラッタ防振の効果をもたらすかを明らかにすることが本研究の目的である。

2. 模型 模型上面に高さフエンスが付加された非対称断面では、ステップ変位  $\Delta\theta = \pm 0.5^\circ \sim \pm 1^\circ$  程度の微小変位に対し、ばねモーメント応答に非線形性が認められ、線形応答を得ることのが困難であった。そこで、本実験では、便宜上、模型下面にも上面と同一高さのフエンスが付加された断面が用いられた。すなはち、図-1-aに示されるように、ねじりフラッタを生じる不安定な断面（図-1-a、前報で用いられたもの）の上下間に  $H/c = 5, 10, 15$  および  $20\%$  のフエンスが付加された。実験法ならびに以下に示されるモーメント応答<sup>(2)</sup>や圧力  $C_{p0}$  等の無次元化については前報を参照されたいたい。

3. 実験結果と考察 (1). インディシャルモーメント応答 まず、フェンスによるねじりフラッタの防振効果を明らかにするためにインディシャルモーメント応答の測定を行なわれた。図-1-cに得られた結果である。横軸は無次元時間である。フエンスの付加により、モーメント応答の履歴特性（姿勢変化直後に生じる頭上げモーメントが緩和される過程）が変化することを図の結果は示している。すなはち、原断面では、緩慢なモーメントの減少の後、約  $t=12$  では一定常値に近い頭下げモーメントに達するのに對し、たゞえば  $H/c = 15\%$  の断面では、モーメントが急減した約  $t=3$  において、すなも比較的大きい頭上げモーメントを保ち、その後にかける変動を経て、約  $t=6$  では一定常値に近い頭下げモーメントとなる。この履歴特性の変化はフエンス高さ大きい断面ほど顕著である。既報のように、ねじりフラッタの発生条件または次のよう。

$$C_{M0}(0) = \int_0^{\infty} \{ \dot{\theta}_0(t) - \dot{\theta}_0(0) \} dt > 0 \quad \cdots (1)$$

式(1)の積分値は無次元振動数  $\omega_r$  における空力ダンピングを表わし、これはモーメント応答  $\dot{\theta}_0(t)$  とその漸近線で囲まれる部分の面積で表わされる。フエンスの付加による上記履歴特性の変化はこの面積の減少をもたらし、かつ、フエンス高さ大きい断面では面積の減少が著しい。このことから、図-1-aの不安定な断面に対し、フエンスはねじりフラッタ

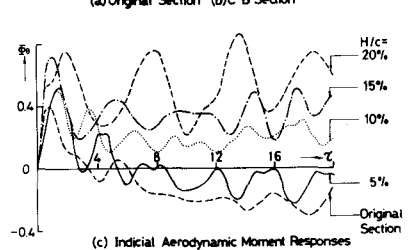
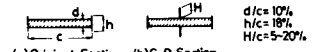


図-1. 中央分離帯の付加によるインディシャルモーメント応答の変化

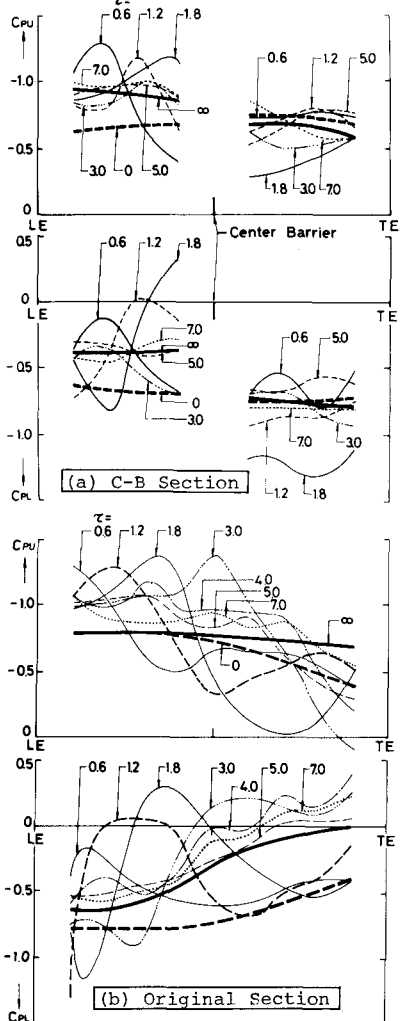


図-2. インディシャル運動時の圧力分布

の防振に有効であることを、さらににより高ハーフェンスがより効果的であることが確認される。

#### (2). 圧力分布と差圧分布 図-2(a)は $H/C=15\%$

の断面に対する模型上下面の圧力分布測定結果である。たゞし、ステップ変位 $\Delta H=4^\circ$ に対する結果である ( $\Delta H=4^\circ$ に対するメントメント応答は、 $\Delta H=1^\circ$ に対する図-1の結果と定性的に同様の変化を示す)。図中LEは前線を表す。まず、フェンス前方の上下面では、姿勢変化後の比較的短い時間の経過の後、約 $t=5$ でほぼ定常値に近い値を示す点で原断面の特性(図-2(b))と異なるが、姿勢変化に基づく負圧の山と谷の発生とその後におけるこれら負圧の山と谷の後方への移動現象が原断面とほぼ同様に認められる。一方、フェンス後方の圧力分布は原断面のそれと著しく異なっている。すなはち、本断面の上下面では、原断面で見られる負圧の山と谷の移動現象は認められない。 $t=2.0$ ~ $t=3.0$ における圧力変動を経て、約 $t=5$ でほぼ定常値に近い値となる。特に、下面では原断面との特性の差異が著しく、原断面に見られる圧力回復現象とは逆に、負圧が生じ、その後再び姿勢変化以前の定常値に近い値となる。以上の結果より、フェンスは主としてそれより後方の圧力分布に著しい変化をもたらし、特に、下面における変化が顕著であることが知られる。

図-3は図-2(a)を差圧分布として表示したものである。この差圧分布より推定されるインディショナルメント応答は図-1の実測値と定性的には一致する。(3). 流れ 写真-1は $H/C=15\%$ の断面に対するインディショナル運動時の流れ観察写真である。写真を見るとように、フェンス前方の上下面では、姿勢変化に基づく剥離バブルの発生と成長があり( $t=0.79, 2.13$ )、対応する時刻における陳毅の原断面まわりの流れとさかめてよく類似している。しかしながら、この剥離バブルの成長はフェンスによってせき止められ、その後における剥離バブルのフェンス後方への成長は見られない( $t=3.44$ )。フェンス後方の上下面では、姿勢変化後もそれ以前と同様に死水領域が形成されている。原断面の下面では、剥離バブルが成長した後、剥離せん断層が後方で再付着した定常流が形成されますが、その流れと本断面の流れと比べて、フェンスがもたらす流れの変化がいかにも大きいかが知らよう。以上のように流れの変化を経て、約 $t=4$ で流れは定常流( $t=\infty$ )に近い流れとなる。結局、フェンスの付加による上記フェンス後方の圧力分布の著しい変化は、姿勢変化に基づく剥離バブルのフェンス後方への成長がフェンスによってせき止めることにより生じるものと考えられる。また、 $t=2.0$ における上記フェンス後方の上下面における圧力変動は、上面剥離せん断層の再付着現象と下面の渦巻き現象( $t=2.13$ )によって生じたものと思われる。

**4. 結論** 不安定な断面にフェンスを附加すると、姿勢変化に基づく剥離バブルがフェンス後方への成長が妨げられ、フェンス後方では姿勢変化後も死水領域が形成される。そのため、フェンス後方の圧力分布に著しい変化が生じ、ねじリフラクタの発生が抑制されることがわかる。

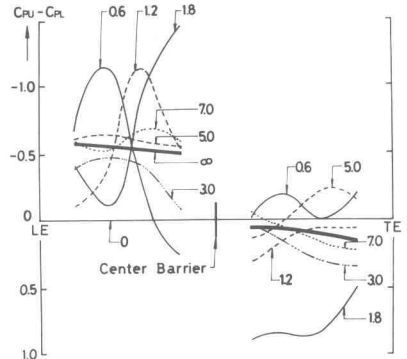


図-3. インディショナル運動時の差圧分布

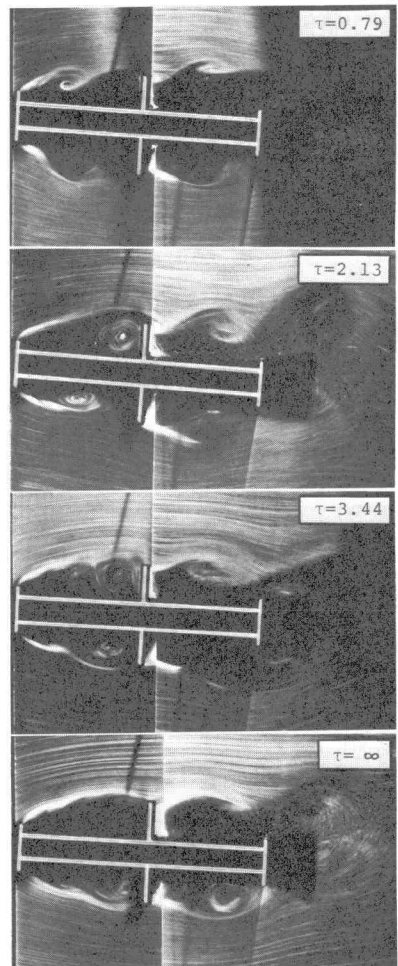


図-4. インディショナル運動時の流れ

#### 参考文献

- (1). 白石他: 橋造物の耐風性に関するシンポジウム(1976)
- (2). 中村他: 土木学会年次学術講演会(1977)
- (3). 吉村・中村: 土木学会年次学術講演会(1978)
- (4). 吉村・中村: 土木学会論文報告集、第264号